

СТАТИСТИКА РЕЗОНАНСНОЙ ФЛУОРЕСЦЕНЦИИ ПАРЫ АТОМОВ В ЦЕПИ ОБРАТНОЙ СВЯЗИ

B. A. Томилин, Л. В. Ильинчёв*

*Институт автоматики и электрометрии Сибирского отделения Российской академии наук
630090, Новосибирск, Россия*

*Новосибирский государственный университет
630090, Новосибирск, Россия*

Поступила в редакцию 12 июля 2012 г.

Рассчитана статистика событий фотоиспускань пары близко расположенных двухуровневых атомов в классическом световом поле, фаза которого с помощью системы обратной связи меняется на π после регистрации очередного спонтанного фотона, и проведено ее сравнение со статистикой в случае, когда обратная связь отсутствует. В обоих случаях наблюдается заметная антигруппировка фотонов в той области параметров, где антигруппировка отсутствует в системе одного атома. Обратная связь значительно усиливает антигруппировку. Данный эффект проявляется сильнее в относительно слабых полях и при значительных отстройках.

DOI: 10.7868/S0044451013020016

1. ВВЕДЕНИЕ

Развитие квантовой информатики сделало актуальным изучение разнообразных квантовых систем с обратной связью [1]. При этом особый интерес представляют открытые квантовые системы, обменивающиеся с окружением энергией и информацией и инициирующие обратную связь в процессе этого обмена, по причине фундаментальной случайности исхода квантовых измерений и случайности момента спонтанного перехода. Хорошо известна работа [2] об амплитудном сжатии излучения полупроводникового лазера с помощью цепи внешней обратной связи, управляемой неразрушающим измерением. Как показано в работе [3], контроль квантовой системы с помощью цепи обратной связи позволяет получать единственное значение для возможных исходов квантового измерения. Обратная связь позволяет приготавливать суперпозиции макроскопически различимых состояний излучения [4]. Организация обратной связи в квантово-оптических системах с помощью гомодинового детектирования части испущенного системой излучения предложена Вайсманом и Милбурном и составляет содержание работ [5].

В частности, данный метод позволяет эффективно управлять параметрами сжатия излучения, испущенного резонансно-флуоресцирующим двухуровневым атомом [6], а также стабилизировать атом в выбранном чистом квантовом состоянии в условиях несовершенного детектирования и других декогерирующих факторов, нарушающих когерентность [7]. В рамках теории квантовых стохастических процессов создана общая теория сетей [8], элементы которых соединены каналами передачи информации с помощью бозонных полей, реализующих, в частности, цепи обратной связи. Также с использованием этого аппарата создана общая теория фотодетектирования с учетом конечной ширины полосы пропускания фотодетектора, сторонних шумов и ненулевого времени задержки [9].

Во многих упомянутых работах в роли квантовой системы, контролируемой цепью обратной связи, выступает элементарный излучатель — атом или молекула. Имеющиеся технологии позволяют проводить эксперименты с единичными частицами. Примером может служить работа [10] о подавлении канала светоиндуцированного распада молекулы путем выключения лазера при попадании молекулы в состояние, из которого возможен распад. Под действием такой искусственной обратной связи происходит значительная качественная модификация процесса

*E-mail: 8342tomilin@mail.ru

распада. Представляет интерес исследование именно этого аспекта — как и в какой степени изменяется картина хорошо известных физических процессов с элементарными излучателями при помещении их в цепь обратной связи. Для простейшей системы — двухуровневого атома с дипольным переходом в оптическом диапазоне — таким процессом является резонансная флуоресценция. С помощью обратной связи испущенные спонтанные фотоны модифицируют параметры монохроматического излучения, накачивающего атом. Модификация фазы квантованного излучения — изменение ее на π — при регистрации каждого спонтанного кванта фигурировала в работе [11], где теоретически исследуется взаимодействие атома с полем в суперпозиции пары глауберовских состояний с противоположными амплитудами (состояние «кошки Шредингера»). Изменение фазы служит для восстановления когерентности суперпозиции, разрушающейся при испускании атомом спонтанных фотонов.

В работе [12] был рассчитан спектр резонансной флуоресценции двухуровневого атома в классическом световом поле, фаза которого, так же как и в работе [11], с помощью системы обратной связи меняется на π после регистрации очередного спонтанного фотона, а небольшая доля флуоресценции подвергается спектральным измерениям. Как оказалось, спектр имеет некоторое сходство с известным триплетом Раутиана — Моллоу. Однако боковые компоненты приобретают резкую асимметрию при ненулевой отстройке частоты светового поля от резонанса с частотой перехода атома. Кроме того, спектр сохраняет выраженную триплетную форму даже за пределами секулярного приближения, когда боковые компоненты в структуре Раутиана — Моллоу в отсутствие обратной связи становятся неразличимы.

Представляет интерес исследование влияния обратной связи на свойства резонансной флуоресценции, дополнительные к спектральным, а именно на статистику событий испускания спонтанных квантов. Статистика фотоиспусканний при резонансной флуоресценции двухуровневого атома привлекла в свое время большое внимание [13, 14]. Была предсказана [15] и обнаружена [16] антигруппировка фотоиспусканний в каждый из боковых компонентов триплета Раутиана — Моллоу, а для фотоиспусканний в объединение боковых компонент (без их различия) имеет место группировка [17]. Нетрудно заметить, однако, что введение обратной связи не может изменить статистику в пределе, когда фотоиспусканния рассматриваются как абсо-

лютно точно локализованные во времени события. Действительно, после регистрации такого фотоиспуска атом оказывается в основном состоянии. При этом когерентность между основным и возбужденным уровнями отсутствует, а вместе с ней — всякая память о фазе поля до регистрации фотоиспуска. По этой причине переключение фазы поля не будет влиять на вероятность следующего фотоиспуска. Иное дело в случае пары атомов, являющейся объектом изучения в настоящей работе. Теперь регистрация фотоиспуска не обязана приводить систему в основное состояние. Один из атомов способен сохранять когерентность и, следовательно, память о фазе, при которой эта когерентность возникла. Переключение фазы поля может в этом случае существенно модифицировать статистику фотоиспусканний, что и показано в настоящей работе.

2. МОДЕЛЬ

Рассматривается взаимодействие пары двухуровневых атомов (основное состояние $|g\rangle$ и возбужденное $|e\rangle$) с классическим монохроматическим световым полем. Предполагаем, что расстояние между атомами меньше длины волны резонансного излучения. В этом случае при оптических переходах не меняется симметрия состояния пары атомов при их перестановке. Иными словами, нетривиальная эволюция осуществляется внутри подпространства симметричных состояний, натянутого на векторы

$$|ee\rangle, \frac{1}{\sqrt{2}}(|eg\rangle + |ge\rangle), |gg\rangle. \quad (1)$$

При использовании формализма энергетического квазиспина, когда состоянию возбужденного (невозбужденного) атома сопоставляется состояние $|1/2\rangle$ ($| -1/2\rangle$) половинного квазиспина, эти состояния соответствуют суммарному квазиспину $J = 1$ с проекциями соответственно 1, 0 и -1 . Антисимметричное состояние $(|eg\rangle - |ge\rangle)/\sqrt{2}$, отвечающее нулевому суммарному квазиспину, выключено из взаимодействия с излучением.

Кинетическое уравнение для статистического оператора пары атомов в цепи обратной связи выводится так же, как и в случае одного атома [12]. Переключение фазы светового поля на π (т. е. изменение знака поля) в результате регистрации спонтанно испущенного фотона предполагает наличие классического параметра σ , принимающего значения 0 или 1 в зависимости от четности числа зарегистрированных фотонов за период наблюдения.

Параметр σ описывает состояние некоторого классического устройства, задающего фазу поля. Описание эволюции атомов требует рассмотрения совместного состояния атомной пары и данного классического устройства. А именно, необходимо иметь дело с двумя статистическими операторами $\hat{\varrho}^{(0)}(t)$ и $\hat{\varrho}^{(1)}(t)$, такими что $\hat{\varrho}(t) = \hat{\varrho}^{(0)}(t) + \hat{\varrho}^{(1)}(t)$ есть обычный статистический оператор системы атомов, а $p_\sigma(t) = \text{Tr } \hat{\varrho}^{(\sigma)}(t)$ — вероятность нахождения классического устройства в состоянии σ . Эволюция операторов $\hat{\varrho}^{(0)}(t)$ и $\hat{\varrho}^{(1)}(t)$ оказывается связанной:

$$\begin{aligned} \frac{d}{dt}\hat{\varrho}^{(0)}(t) &= -i[\hat{H}(0), \hat{\varrho}^{(0)}(t)] + \\ &+ \gamma\hat{J}_-\hat{\varrho}^{(1)}(t)\hat{J}_+ - \frac{\gamma}{2}\{\hat{J}_+\hat{J}_-, \hat{\varrho}^{(0)}(t)\}, \\ \frac{d}{dt}\hat{\varrho}^{(1)}(t) &= -i[\hat{H}(1), \hat{\varrho}^{(1)}(t)] + \\ &+ \gamma\hat{J}_-\hat{\varrho}^{(0)}(t)\hat{J}_+ - \frac{\gamma}{2}\{\hat{J}_+\hat{J}_-, \hat{\varrho}^{(1)}(t)\}. \end{aligned} \quad (2)$$

Здесь

$$\hat{H}(\sigma) = \Delta\hat{J}_3 + (-1)^\sigma\Omega(\hat{J}_+ + \hat{J}_-) \quad (3)$$

— гамильтониан взаимодействия атома с полем в режиме определенной фазы последнего (прямым взаимодействием между атомами мы пренебрегаем); $\hat{J}_\pm = \hat{J}_1 \pm i\hat{J}_2$ — повышающий и понижающий операторы проекции квазиспина, т. е. собственного значения оператора \hat{J}_3 ; Δ — разность частоты перехода атома и частоты поля; Ω — частота Раби; γ — скорость спонтанного распада; фигурные скобки обозначают антисимметрический оператор. Факт переключения фазы поля в результате регистрации спонтанного кванта отражена в структуре членов прихода (так называемых «сэндвичных» слагаемых) в правых частях уравнений. Именно посредством этих слагаемых эволюция операторов $\hat{\varrho}^{(0)}(t)$ и $\hat{\varrho}^{(1)}(t)$ оказывается связанный. Предполагается, что переключение фазы поля происходит быстро в сравнении с характерным масштабом времени эволюции этих статистических операторов, которое задается параметрами Δ , Ω и γ . Благодаря этому мы можем анализировать процесс в рамках марковских уравнений.

Для нахождения статистики фотоиспусканий воспользуемся обобщением метода из работы [18] (см. также [19, 20]). В дополнение к объединенному состоянию атомов и устройства, задающего фазу поля, теперь присутствует также счетчик числа n испущенных квантов. Вместо статистических операторов $\hat{\varrho}^{(0)}(t)$ и $\hat{\varrho}^{(1)}(t)$ введем наборы операторов $\{\hat{\varrho}^{(0)}(n, t)\}_{n=0}^\infty$ и $\{\hat{\varrho}^{(1)}(n, t)\}_{n=0}^\infty$, пронумерованных числом n . Индексы «0» и «1» обозначают теперь

фазу поля в момент начала счета фотонов. Эти операторы эволюционируют независимо:

$$\begin{aligned} \frac{d}{dt}\hat{\varrho}^{(0)}(n, t) &= -i[\hat{H}(n), \hat{\varrho}^{(0)}(n, t)] + \\ &+ \gamma\hat{J}_-\hat{\varrho}^{(0)}(n-1, t)\hat{J}_+ - \frac{\gamma}{2}\{\hat{J}_+\hat{J}_-, \hat{\varrho}^{(0)}(n, t)\}, \\ \frac{d}{dt}\hat{\varrho}^{(1)}(n, t) &= -i[\hat{H}(n+1), \hat{\varrho}^{(1)}(n, t)] + \\ &+ \gamma\hat{J}_-\hat{\varrho}^{(1)}(n-1, t)\hat{J}_+ - \frac{\gamma}{2}\{\hat{J}_+\hat{J}_-, \hat{\varrho}^{(1)}(n, t)\}, \end{aligned} \quad (4)$$

и через них может быть выражено распределение вероятности числа испущенных фотонов:

$$p(n, t) = \text{Tr } \hat{\varrho}^{(0)}(n, t) + \text{Tr } \hat{\varrho}^{(1)}(n, t). \quad (5)$$

Удобно ввести операторнозначные производящие функции

$$\hat{Q}^{(\sigma)}(x, t) = \sum_{n=0}^{\infty} x^n \hat{\varrho}^{(\sigma)}(n, t), \quad (6)$$

которые связаны с распределением вероятности соотношением

$$p(n, t) = \frac{1}{n!} \left. \frac{\partial^n \sum_\sigma \text{Tr } \hat{Q}^{(\sigma)}(x, t)}{\partial x^n} \right|_{x=0} \quad (7)$$

и, согласно (4), удовлетворяют уравнениям

$$\begin{aligned} \frac{d}{dt}\hat{Q}^{(0)}(x, t) &= -i\Delta[\hat{J}_3, \hat{Q}^{(0)}(x, t)] - \\ &- i\Omega[\hat{J}_+ + \hat{J}_-, \hat{Q}^{(0)}(-x, t)] + \gamma x\hat{J}_-\hat{Q}^{(0)}(x, t)\hat{J}_+ - \\ &- \frac{\gamma}{2}\{\hat{J}_+\hat{J}_-, \hat{Q}^{(0)}(x, t)\}, \\ \frac{d}{dt}\hat{Q}^{(1)}(x, t) &= -i\Delta[\hat{J}_3, \hat{Q}^{(1)}(x, t)] + \\ &+ i\Omega[\hat{J}_+ + \hat{J}_-, \hat{Q}^{(1)}(-x, t)] + \gamma x\hat{J}_-\hat{Q}^{(1)}(x, t)\hat{J}_+ - \\ &- \frac{\gamma}{2}\{\hat{J}_+\hat{J}_-, \hat{Q}^{(1)}(x, t)\} \end{aligned} \quad (8)$$

с начальными условиями $\hat{Q}^{(\sigma)}(x, 0) = \hat{\varrho}_{st}^{(\sigma)}$, где $\hat{\varrho}_{st}^{(\sigma)}$ — стационарные решения системы (2).

Поскольку эволюция развивается в пространстве состояний единичного квазиспина, уравнения (8) целесообразно решать, разлагая $\hat{Q}^{(\sigma)}(x, t)$ по базису 9-мерного операторного пространства

$$\hat{J}_1, \hat{J}_2, \hat{J}_3, \hat{J}_1^2, \hat{J}_2^2, \hat{J}_3^2, \{\hat{J}_2, \hat{J}_3\}, \{\hat{J}_3, \hat{J}_1\}, \{\hat{J}_1, \hat{J}_2\} \quad (9)$$

с дополнительным условием

$$\sum_{i=1}^3 \hat{J}_i^2 = 2. \quad (10)$$

Операторы (9) образуют алгебру, правила умножения которой задаются следующим соотношением для операторов единичного углового момента:

$$\hat{J}_i \hat{J}_j \hat{J}_k = i\epsilon_{ijk} + \frac{1}{2}(\delta_{ij}\hat{J}_k + \delta_{jk}\hat{J}_i) - \frac{i}{2}\epsilon_{ilk}\{\hat{J}_l, \hat{J}_j\}. \quad (11)$$

3. РЕЗУЛЬТАТЫ

Поскольку в (8) наряду с $\hat{Q}^{(\sigma)}(x, t)$ входят также $\hat{Q}^{(\sigma)}(-x, t)$, число уравнений в системах для $\sigma = 0, 1$ с учетом 9-мерности операторного пространства увеличивается до 18 и оказывается слишком большим для получения явного решения и вычисления из него распределения $p(n, t)$ числа фотоотсчетов. Поэтому причине мы ограничимся исследованием некоторых свойств двух первых моментов этого распределения — среднего числа фотоотсчетов

$$\langle n \rangle_t = \left. \frac{\partial \sum_\sigma \text{Tr } \hat{Q}^{(\sigma)}(x, t)}{\partial x} \right|_{x=1} \quad (12)$$

и его дисперсии

$$\langle (\Delta n)^2 \rangle_t = \left. \frac{\partial^2 \sum_\sigma \text{Tr } \hat{Q}^{(\sigma)}(x, t)}{\partial x^2} \right|_{x=1} + \langle n \rangle_t - \langle n \rangle_t^2. \quad (13)$$

Эти моменты определяют главные качественные черты статистики фотоотсчетов — группировку или антигруппировку. Представляет интерес сравнение с известными результатами [18] для одного атома¹⁾. Как показано в этой работе, в пределе сильных полей и умеренных отстроек статистика фотоотсчетов в случае одного атома оказывается практически пуассоновской. В рассматриваемой задаче именно в этом диапазоне параметров зависимость дисперсии числа фотоотсчетов от времени может быть с хорошей точностью аппроксимирована следующей простой функцией (как с обратной связью, так и без нее):

$$\langle (\Delta n)^2 \rangle_t = a(1 - e^{-bt}) + ct, \quad c > 0, \quad (14)$$

т. е. при $t \rightarrow \infty$ дисперсия, как и среднее, ведет себя линейно. Эта формула описывает поведение дисперсии в области $\sqrt{\Delta^2 + \Omega^2} \gg \gamma$ со среднеквадратичным отклонением 10^{-7} – 10^{-4} .

Численный анализ показывает, что введение второго атома радикально меняет ситуацию. Результаты расчетов представлены на рис. 1. Линейная

¹⁾ Напомним, что наличие или отсутствие обратной связи не меняет результат в случае одного атома.

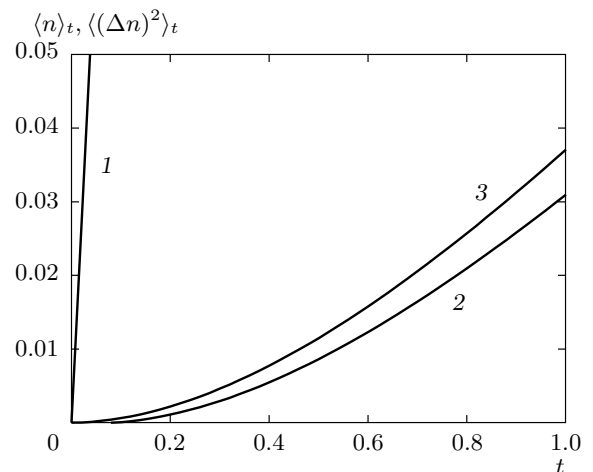


Рис. 1. Зависимости от времени среднего числа фотоиспусканий (1) и его дисперсии с обратной связью (2) и без нее (3) при $\Delta/\gamma = 1$, $\Omega/\gamma = 25$

зависимость времени среднего числа фотоотсчетов практически не чувствительна к появлению обратной связи. В дисперсии обратная связь уже проявляется, хотя и не очень ярко при данных параметрах. Главным является неожиданно яркий феномен антигруппировки, вносимый появлением второго атома. Отношение

$$A = \left. \frac{\langle (\Delta n)^2 \rangle_t}{\langle n \rangle_t} \right|_{t \rightarrow \infty} \quad (15)$$

асимптотики наклона кривой дисперсии и среднего числа фотоотсчетов, являющейся естественной количественной характеристикой антигруппировки, оказывается равным $A = 0.058$ и $A_f = 0.052$ соответственно при отсутствии и наличии обратной связи.

Обратная связь практически не меняет среднего значения числа фотоиспусканий, но оказывает значительное влияние на дисперсию, т. е. степень антигруппировки отличается в случае обратной связи. Зависимости изменения степени антигруппировки без обратной связи, A , к степени антигруппировки в присутствии обратной связи, A_f , от параметров задачи представлены на рис. 2. Как видно из приведенных зависимостей, обратная связь драматически увеличивает степень антигруппировки с удалением от резонанса. Также эффект усиливается с уменьшением Ω , т. е. в менее сильных полях.

Мы можем констатировать очень яркое воздействие обратной связи на статистику флуоресценции пары атомов. Это воздействие обусловлено, как было указано во Введении, памятью системы о предыдущей фазе поля после ее переключения.

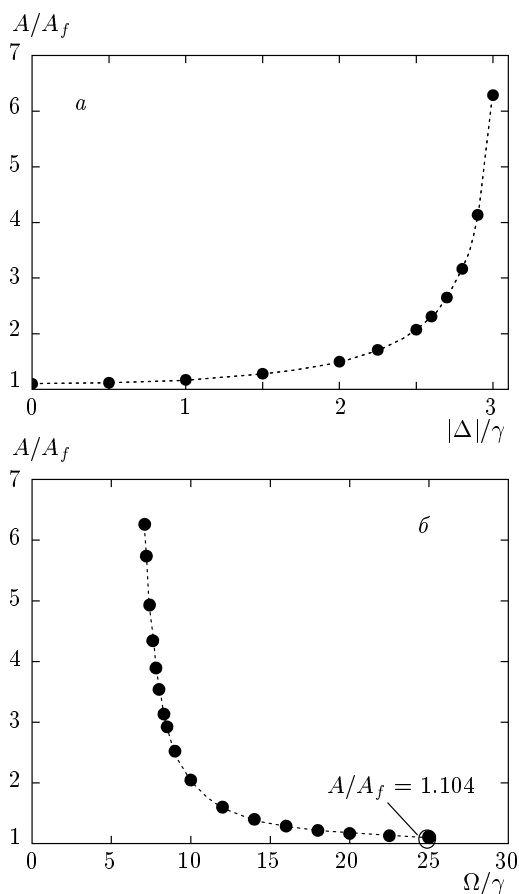


Рис. 2. Зависимости отношения коэффициентов антигруппировки от отстройки (а) и частоты Рabi (б). Отношение коэффициентов антигруппировки не зависит от знака отстройки. а — $\Omega/\gamma = 20$, б — $\Delta/\gamma = 1$. Точка $\Omega/\gamma = 25$ отвечает значениям параметров на рис. 1

Аналогичный эффект можно ожидать и в одном атоме, если счет испущенных фотонов сопровождается их мягкой частотной селекцией по компонентам триплета резонансной флуоресценции. В этом случае испущенный фотон некоторое время до регистрации проводит в частотном селекторе, а атом продолжает взаимодействовать со световым полем. Поэтому при регистрации фотона и переключении фазы мы уже не можем утверждать, что атом находится в основном состоянии. Возникшая к этому моменту когерентность начинает эволюционировать в поле с новой фазой. Исследование статистики таких событий требует отдельного рассмотрения.

Работа выполнена при финансовой поддержке РФФИ (грант № 12-02-01130), Президиума СО РАН

и программы Отделения физических наук РАН «Фундаментальная оптическая спектроскопия и ее приложения».

ЛИТЕРАТУРА

1. H. Wiseman and G. Milburn, *Quantum Measurement and Control*, Cambridge Univ. Press, Cambridge (2010).
2. Y. Yamamoto, N. Imoto, and S. Machida, Phys. Rev. A **33**, 3443 (1986).
3. R. van Handel, J. K. Stockton, and H. Mabuchi, IEEE Trans. Automat. Control **50**(6), 768 (2005).
4. A. Negretti, U. V. Poulsen, and K. Mølmer, Phys. Rev. Lett. **99**, 223601 (2007).
5. H. M. Wiseman and G. J. Milburn, Phys. Rev. Lett. **70**, 548 (1993); H. M. Wiseman, Phys. Rev. A **49**, 2133 (1994).
6. A. Barchielli, M. Gregoratti, and M. Licciardo, Int. J. Quant. Inf. **6**, 581 (2008); Europ. Phys. Lett. **85**, 14006 (2009).
7. H. M. Wiseman, S. Manchini, and J. Wang, Phys. Rev. A **66**, 013807 (2002).
8. J. Gough and M. R. James, Commun. Math. Phys. **287**, 1109 (2009); J. Gough, R. Goehm, and M. Yanagisawa, Phys. Rev. A **78**, 062104 (2008).
9. P. Warszawski and H. M. Wiseman, arXiv: quant-ph/0206125v1.
10. V. Jacques et al., arXiv:quant-ph/0707.3200.
11. Д. Е. Хорошко, С. Я. Килин, ЖЭТФ **117**, 844 (2000).
12. В. А. Томилин, Л. В. Ильиничёв, Письма в ЖЭТФ **94**, 9 (2011).
13. H. J. Kimble and L. Mandel, Phys. Rev. A **13**, 2123 (1976).
14. B. R. Mollow, Phys. Rev. **188**, 1969 (1969).
15. H. J. Carmichael and D. F. Walls, J. Phys. B **9**, 1199 (1976).
16. H. J. Kimble, M. Dagenais, and L. Mandel, Phys. Rev. Lett. **39**, 691 (1977).
17. P. A. Apanasevich and S. Ja. Kilin, J. Phys. B **12**, L83 (1979).
18. R. J. Cook, Phys. Rev. A **23**, 1243 (1981).
19. Л. В. Ильиничёв, Теор. мат. физ. **127**, 168 (2001).
20. Л. В. Ильиничёв, Опт. и спектр. **99**, 93 (2005).